МАГНИТНЫЙ ПЕРЕХОД В СИСТЕМАХ НА ОСНОВЕ $arepsilon_{ ext{-}} \mathrm{Fe_2O_3}$ С РАЗЛИЧНЫМ РАСПРЕДЕЛЕНИЕМ НАНОЧАСТИЦ ПО РАЗМЕРАМ

 $\mathcal{A}.$ A. Балаев $^{a^*},\ C.$ B. Семенов $^a,\ A.$ A. Дубровский $^a,\ H.$ B. Князев $^a,\ B.$ $\mathcal{A}.$ Кириллов b, O. H. Мартьянов b

^а Институт физики им. Л. В. Киренского Сибирского отделения Российской академии наук 660036, Красноярск, Россия

 b Институт катализа им. Г. К. Борескова Сибирского отделения Российской академии наук $630090,\ Hosocuбирск,\ Poccuя$

Поступила в редакцию 12 августа 2025 г., после переработки 5 сентября 2025 г. Принята к публикации 8 сентября 2025 г.

Редкая полиморфная модификация оксида железа ε -Fe₂O₃ демонстрирует большую коэрцитивную силу, примерно 20 кЭ, при комнатной температуре (для наночастиц размером около 20 нм). В диапазоне температур 150–80 K в ε -Fe₂O₃ происходит магнитный переход, приводящий к изменению ряда характеристик, в том числе к значительному уменьшению коэрцитивной силы. Несмотря на то, что полное понимание причины магнитного перехода отсутствует, известно, что этот переход происходит в несколько этапов при постепенном изменении температуры в диапазоне 80-150 К. Исследования реальных систем на основе ансамблей наночастиц ε -Fe $_2$ O $_3$ сталкиваются с влиянием распределения частиц по размерам на параметры магнитных переходов и заметно различающимся поведением крупных и мелких наночастиц. В настоящей работе показано, как можно учесть суперпарамагнитное состояние магнитных моментов мелких (менее 6-7 нм) частиц и выявить особенности поведения намагниченности частиц бо́льших размеров в температурном интервале магнитного перехода. В результате, на основании исследования серии из четырех образцов, содержащих наночастицы ε -Fe₂O₃ с различными средними размерами и различным соотношением крупных и мелких частиц, обнаружено, что температура, при которой происходит смена этапов магнитного перехода (внутри интервала 80-150 К), зависит от размера частиц. Этот результат, наряду с обнаруженным ранее фактом отсутствия магнитного перехода в частицах ε -Fe₂O₃ (менее 6– 7 нм), является проявлением размерного эффекта в этом полиморфе оксида железа.

DOI: 10.7868/S3034641X25110095

1. ВВЕДЕНИЕ

Оксид трехвалентного железа существует в нескольких полиморфных структурных модификациях, которых на настоящий момент известно пять [1–3], обозначаемых как α , β , γ , ε , ζ . Из них наиболее известными и изученными являются α -Fe₂O₃ и γ -Fe₂O₃, называемые соответственно гематит и маггемит. α -Fe₂O₃ является антиферромагнетиком в области температур ниже температуры Морина $T_M \approx 270~\mathrm{K}$, при которой

происходит спин-переориентационный переход, приводящий к слабому ферромагнетизму в области $T_M < T < T_N \ (T_N - \text{температура Heeля, для } \alpha\text{-Fe}_2\text{O}_3 \ T_N \approx 925 \ \text{K}).$ Маггемит $\gamma\text{-Fe}_2\text{O}_3$ является ферримагнетиком во всей области температур, в которой реализуется магнитоупорядоченное состояние $(T_N > 600 \ \text{K}).$ Оксиды $\beta\text{-Fe}_2\text{O}_3$ и $\zeta\text{-Fe}_2\text{O}_3$ проявляют антиферромагнитное упорядочение; температуры Нееля для них достаточно низкие — около $100 \ \text{K}$ для $\beta\text{-Fe}_2\text{O}_3$ [2] и $70 \ \text{K}$ для $\zeta\text{-Fe}_2\text{O}_3$ и $\varepsilon\text{-Fe}_2\text{O}_3$ существуют только в наноразмерном виде.

Среди перечисленных форм оксида железа (III), полиморф ε -Fe $_2$ O $_3$ выделяется уникальными магнитными свойствами. Для наночастиц размерами

^{*} E-mail: dabalaev@iph.krasn.ru

около 20 нм значение коэрцитивной силы H_C при комнатной температуре достигает 20 кЭ [1, 4–18]. Это является очень привлекательным свойством для различных практических применений — от высококоэрцитивных постоянных магнитов до сред для хранения информации. Можно указать еще одно важное для практических приложений свойство: большое значение H_C обуславливает высокую частоту естественного магнитного резонанса и возможность эффективного поглощения электромагнитного излучения в сантиметровом диапазоне волн материалами на основе ε -Fe₂O₃ [1, 18–20].

В кристаллической структуре ε -Fe₂O₃ атомы железа занимают четыре неэквивалентные кристаллографические позиции: три октаэдрические — Fe1, Fe2, Fe3 (обозначения соответствуют работе [21]) и одну тетраэдрическую Fe4 позицию. Считается устоявшимся мнением, что при комнатной температуре в ε-Fe₂O₃ реализуется коллинеарная ферримагнитная структура с четырьмя различными магнитными подрешетками, образованными магнитными моментами атомов железа в указанных (Fe1, Fe2, Fe3, Fe4) позициях [8, 21]. В подрешетках Fe2 и Fe3 (аналогично и в подрешетках Fe1 и Fe4) направления магнитных моментов атомов железа одинаковы. Ферримагнитная структура ε -Fe₂O₃ реализуется в температурном диапазоне примерно 150-500 К. Важными факторами, определяющими большую коэрцитивную силу в этом температурном интервале, можно считать сильную магнитокристаллическую анизотропию [5], однодоменность частиц, анизотропию формы частиц [9, 10], вклад поверхностной магнитной анизотропии [21–24] и, возможно, наличие ненулевого орбитального момента ионов Fe³⁺ со значительной спин-орбитальной связью [15, 25].

В диапазоне примерно 150–80 К в ε -Fe₂O₃ происходит магнитный переход, который приводит к сильному уменьшению H_C (более чем на порядок). Причиной этого магнитного перехода можно считать изменения в пространственном расположении атомов железа, находящихся в тетраэдрической позиции Fe4 и одной из октаэдрических позиций Fe1 [6, 8, 26, 27]. Полного понимания причин перестройки магнитной структуры, происходящей в ε -Fe₂O₃, и того, каким образом изменяются направления магнитных моментов атомов железа при постепенном изменении температуры в интервале 80–150 К, к настоящему времени нет. Отмечается [8], что можно выделить несколько этапов магнитного перехода, которые в магнитных свойствах проявляются в виде характерных особенностей на температурной зависимости намагниченности [8, 10-15]. В диапазоне температур ниже 80 K можно говорить о реализации сложной неколлинеарной магнитной структуры ε -Fe₂O₃, которую можно, но только весьма упрощенно, представить в виде спирали [8, 21].

Во многих случаях при изучении магнитных свойств ε -Fe₂O₃ ситуация осложняется тем, что в исследуемых системах наночастиц всегда есть распределение частиц по размерам, а для частиц малых размеров происходят процессы суперпарамагнитной (СПМ) блокировки/разблокировки их магнитных моментов. Как следствие, достаточно сложно интерпретировать результирующую зависимость намагниченности от температуры, которая является суперпозицией вкладов от малых частиц (переход в СПМ-состояние) и больших частиц (особенности, связанные с магнитным переходом). В настоящей работе показано, как можно учесть СПМсостояние малых частиц и выделить отличительные черты магнитного отклика от крупных частиц, соответствующие различным этапам магнитного перехода в ε -Fe₂O₃. Кроме того, отдельно рассматривается влияние размера частиц на температурные интервалы, соответствующие различным этапам магнитного перехода ε -Fe₂O₃.

2. ЭКСПЕРИМЕНТ

2.1. Получение и характеризация образцов

Исследованные образцы представляют собой матрицу ксерогеля SiO_2 , в которой в поры внедрены наночастицы $\varepsilon\text{-Fe}_2\mathrm{O}_3$. Методика приготовления, описанная в работе [28], заключается во внедрении солей $\mathrm{Fe}(\mathrm{II})$ в гидрогель SiO_2 путем диффузного обмена с последующими сушкой и отжигом. Исследована серия из четырех образцов с весовой концентрацией оксида железа, равной примерно 5%, 10%, 20% и 33%. Далее в работе образцы обозначены соответственно как $5\mathrm{FX}$, $10\mathrm{FX}$, $20\mathrm{FX}$ и $33\mathrm{FX}$.

Согласно результатам рентгеновской дифракции и мессбауэровской спектроскопии, в образцах 5FX, 10FX, 20FX образуется только фаза ε - Fe_2O_3 , а образец 33FX содержит $\approx 49\%$ ε - Fe_2O_3 , $\approx 48\%$ β - Fe_2O_3 и $\approx 3\%$ α - Fe_2O_3 [28]. По результатам обработки снимков, полученных просвечивающей электронной микроскопией высокого разрешения (ПЭМ ВР), средний размер частиц оксида железа $\langle d \rangle$ для образцов 5FX, 10FX, 20FX и 33FX составляет 3.8, 6.2, 8.0 и 10.5 нм. Соответствующие гистограммы распределения частиц по размерам приведены на рис. 1, на котором по оси ординат в логарифмическом масштабе

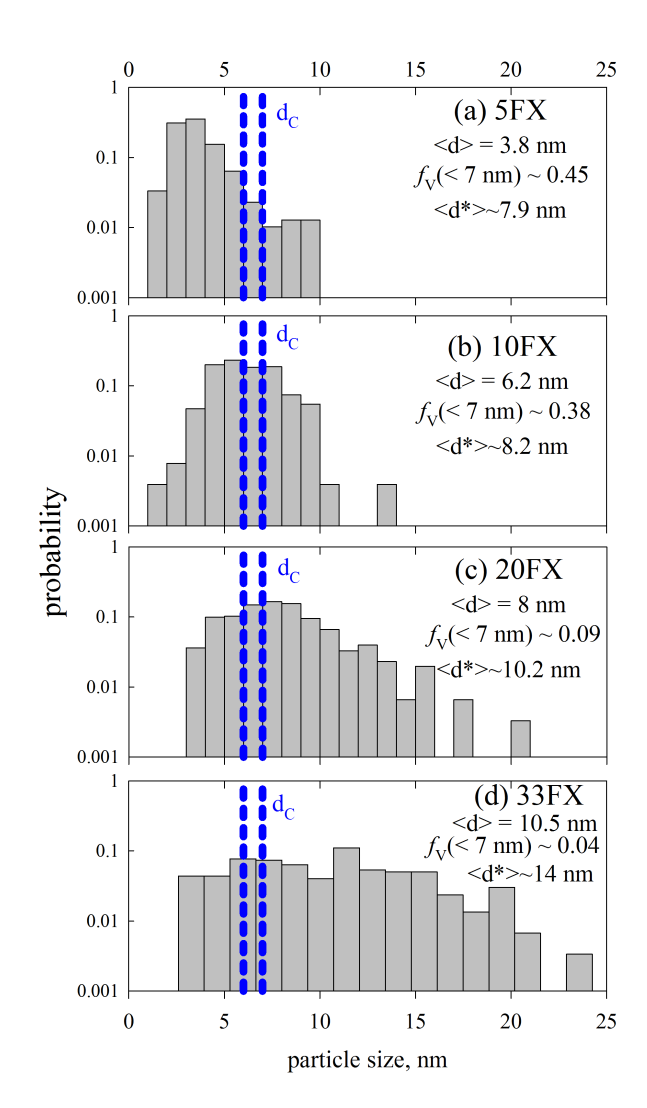


Рис. 1. Нормированные распределения наночастиц ε - $\mathrm{Fe_2O_3}$ по размерам в исследованных образцах. По оси ординат использован логарифмический масштаб. Вертикальные штриховые линии указывают положение диапазона критического размера $d_C=6.5\pm1$ нм. Приведены значения среднего размера $\langle d \rangle$, объемной доли частиц менее 7 нм — $f_V(<7$ нм) и среднего размера частиц $\langle d^* \rangle$ без учета частиц, меньших d_C

отложена (нормированная на единицу) доля частиц в соответствующем интервале столбца. На гистограммах рис. 1 видно, как изменяется доля малых (менее 6–7 нм) частиц в исследованной серии образцов; значения объемной доли частиц менее 7 нм от объема всех частиц $f_V(<7$ нм) приведены в поле рисунка.

2.2. Магнитные измерения

Приведенные в работе температурные зависимости вещественной части магнитной восприимчиво-

сти $\chi'(T)$ измерены на установке Quantum Design Physical Property Measurement System (PPMS-9).

Статические магнитные измерения проведены на вибрационном магнитометре LakeShore VSM 8604. Образец охлаждался в нулевом внешнем поле до температуры 80 К. Температурные зависимости намагниченности M(T) измерены при нагревании образца. Температурные зависимости остаточной намагниченности $M_R(T)$ получены после приложения внешнего поля 15 к Θ и снятия поля до нуля (время ввода поля 2 с, выдержка при H=15 к $\Theta-5$ с, время вывода поля 2 с). Использовалось два режима измерения $M_R(T)$:

- (i) приложение/снятие внешнего поля при $T=300~{\rm K}$ и измерение $M_R(T)$ при непрерывном уменьшении температуры до 85 K, а затем при увеличении температуры до 300 K;
- (ii) приложение/снятие внешнего поля при $T=85~{\rm K}$ и измерение $M_R(T)$ при непрерывном увеличении температуры до 300 K, а затем при уменьшении температуры до $85~{\rm K}.$

Между режимами (i) и (ii) проводилось размагничивание образца.

Данные по намагниченности приведены к массе ε -Fe₂O₃ в образце. Для образца 33FX данные по намагниченности приведены с учетом массовой доли $x\approx 0.5$ фазы ε -Fe₂O₃¹⁾.

3. РЕЗУЛЬТАТЫ И ОБСУЖДЕНИЕ

3.1. Размер частиц и магнитный переход $80{\text -}150~{ m K}$ в $arepsilon{ m Fe}_2{ m O}_3$

Приведем вкратце основания для учета СПМповедения в намагниченность малых частиц в системах наночастиц ε -Fe₂O₃, а также качественную схему состояния магнитных моментов частиц различных размеров [28].

Зависимости действительной части магнитной восприимчивости $\chi'(T)$ при частоте 100 Гц, нормированные на значение $\chi'(T=200~{\rm K})$, приведены на рис. 2. Эти зависимости содержат две характерные особенности в двух температурных интервалах. Условно, первый интервал примерно от 150 K до 80 K, а второй интервал ниже температуры $\sim 80~{\rm K}$ (показано овалами на рис. 2). Очевидно, что первый (из перечисленных) интервал соответствует магнитному переходу в ε -Fe₂O₃, см. Введение.

 $^{^{1)}}$ Для $\beta\text{-Fe}_2\mathrm{O}_3$ магнитный отклик незначителен по сравнению с $\varepsilon\text{-Fe}_2\mathrm{O}_3$ [2].

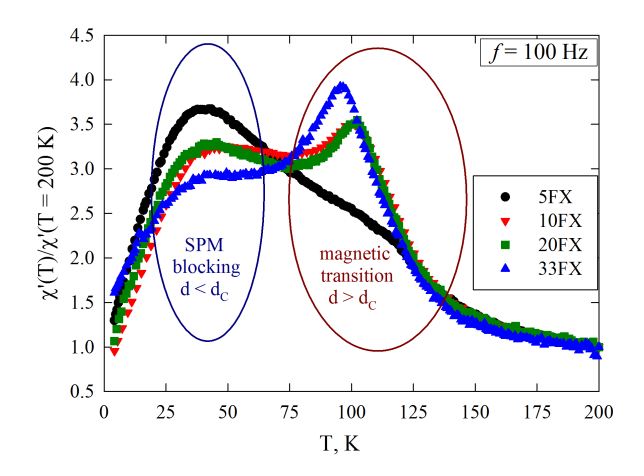


Рис. 2. Температурные зависимости действительной части магнитной восприимчивости $\chi'(T)$ при частоте 100 Гц (нормированы на значение $\chi'(T=200~{\rm K})$) исследованных образцов

На рис. 2 видно, как в ряду образцов 33FX, 20FX, 10FX уменьшается относительная высота высокотемпературного «колокола» зависимости $\chi'(T)/\chi'(T=200~{\rm K})$, а для образца 5FX колокол трансформируется в плавную слабую аркообразную особенность. В ряду образцов 33FX, 20FX, 10FX, 5FX уменьшается объемная доля $f_V(>7~{\rm HM})$ крупных частиц и увеличивается объемная доля малых частиц $f_V(<7~{\rm HM})$, см. рис. $1~(f_V(>7~{\rm HM})=1-f_V(<7~{\rm HM}))$. Можно предположить, что высокотемпературный колокол зависимости $\chi'(T)$ определяется магнитным откликом от крупных частиц.

Максимумы зависимостей $\chi'(T)$ в низкотемпературном интервале (для образца 33FX максимум трансформируется в характерное «плечо») отражают процессы СПМ-блокировки малых, менее 6–7 нм, частиц. В работе [28] зависимости $\chi'(T)$ для диапазона частот 10-10000 Гц в области низких температур были обработаны по выражению, описывающему СПМ-блокировку магнитных моментов частиц (с учетом размера частиц и константы магнитной анизотропии). Было показано [28], что малые частицы размером до определенного, критического d_C (6-7 нм), испытывают СПМ-блокировку, проявляющуюся как низкотемпературный максимум на зависимости $\chi'(T)$. При температуре 80 K большинство частиц малых размеров ($d < d_C$) уже перешли в СПМ (т.е. разблокированное) состояние [28]. Область критического размера 6-7 нм указана на соответствующих распределениях на рис. 1.

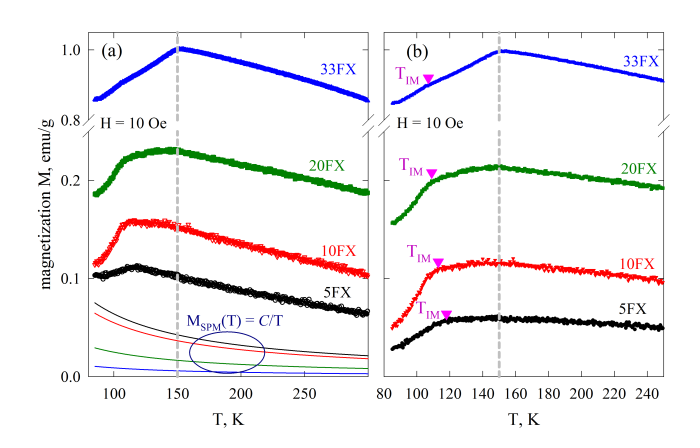


Рис. 3. a — Температурные зависимости намагниченности M(T) в поле H=10 Э исследованных образцов (символы), сплошные линии — СПМ-вклад. b — Зависимости M(T) после вычета СПМ-вклада, треугольниками отмечены особенности (изломы) зависимостей M(T). Вертикальные штриховые линии проведены при температуре 150 K, соответствующей окончанию магнитного перехода

Кроме того, в работах [24,28] показано, что в частицах размером менее критического d_C уже не происходит магнитный переход в диапазоне 80–150 К. Это поведение схоже с известными фактами уменьшения температур перехода Морина для гематита [29–32], Вервея для магнетита [33–35] или даже исчезновения указанных переходов при некотором критическом значении размера частиц d_C .

3.2. Учет СПМ-вклада и проявление магнитного перехода в зависимостях M(T)

На рис. 3a приведены зависимости M(T) во внешнем поле H=10 Э серии исследованных образцов 5FX, 10FX, 20FX, 33FX. Для зависимости M(T) образца 33FX наблюдается слабый излом при температуре $\approx 105~\mathrm{K}$ и выраженный максимум в окрестности температуры 150 К. Температура 150 К соответствует окончанию (при повышении температуры) магнитного перехода в ε -Fe₂O₃ [4–8]. Однако для образца 20FX максимум при температуре 150 K выражен слабее, а для образцов 10FX и 5FX максимумы зависимостей M(T) наблюдаются при температурах ≈ 115 и ≈ 118 K соответственно. Как было указано во Введении, если в системе наночастиц ε -Fe₂O₃ есть значимая доля частиц малых размеров, то по измерениям намагниченности достаточно сложно идентифицировать температурную область магнитного перехода и тем более его различные этапы.

Также на рис. За обращает на себя внимание изменение кривизны зависимостей M(T) в области температур выше температуры максимума в ряду образцов 33FX, 20FX, 10FX, 5FX (т.е. при уменьшении среднего размера частиц). Для образца 33FX вторая производная d^2M/dT^2 (знак которой определяет кривизну) меньше нуля. Для образцов 20FX и $10 {
m FX} \ d^2 M/dT^2 \approx 0$ (зависимости M(T) близки к линейной функциональной зависимости, уменьшающейся с ростом температуры), в то время как для образца 5FX уже $d^2M/dT^2 > 0$. Очевидно, что положительное значение d^2M/dT^2 отражает вклад от частиц в СПМ-состоянии с разблокированными магнитными моментами. Действительно, разложение функции Ланжевена в ряд по малому параметру $\mu H/k_BT$ (μ — магнитный момент частицы, k_B — константа Больцмана) дает функциональную зависимость намагниченности от температуры $M_{SPM}(T)$, пропорциональную μ^2/T , для которой $d^2M/dT^2 > 0$. Исходя из этих соображений, из экспериментальных зависимостей M(T) был вычтен СПМ-вклад, который моделировался в виде

$$M_{SPM}(T) = \frac{C}{T}.$$

Корректный учет СПМ-вклада подразумевает два критерия: (1) результирующая зависимость M(T) в диапазоне выше 150 К должна иметь отрицательное значение второй производной d^2M/dT^2 (как для образца 33FX на рис. 3a), и (2) параметр C должен быть пропорционален²⁾ объемной доле малых частиц $f_V(<7$ нм) в образце.

Полученные после вычета зависимости M(T) приведены на рис. 3 b. Выше температуры $150 \ \mathrm{K}$ значения d^2M/dT^2 для этих зависимостей имеют отрицательные значения (критерий (1)). СПМ-вклад, т. е. зависимости $M_{SPM}(T) = C/T$, приведен на рис. 3 a (сплошные линии). Значения C в зависимости от объемной доли малых частиц $f_V(<7 \ \mathrm{hm})$ приведены на рис. 4, на котором видна пропорциональность этих величин (критерий (2)). Также на рис. 4 приведены значения, аналогичные параметру C, полученные из подгонок зависимостей $\chi'(T)$ в диапазоне температур 4–200 K для этой же серии образ-

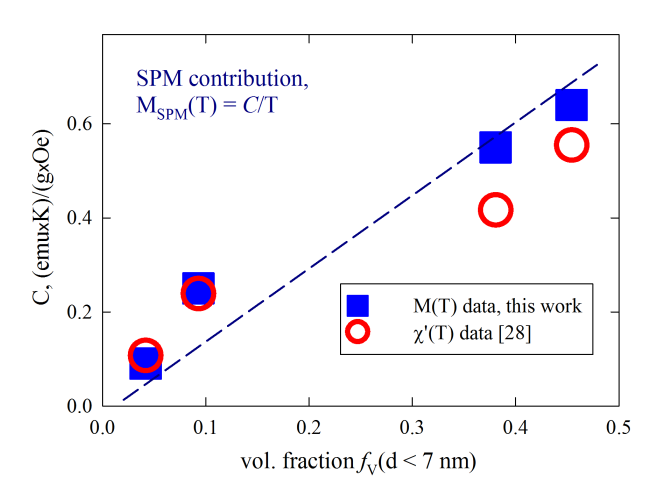


Рис. 4. Зависимости параметра C, определяющего величину СПМ-вклада (для данных рис. 3, либо по результатам работы [28]), от объемной доли малых частиц f_V (< 7 нм) в образцах

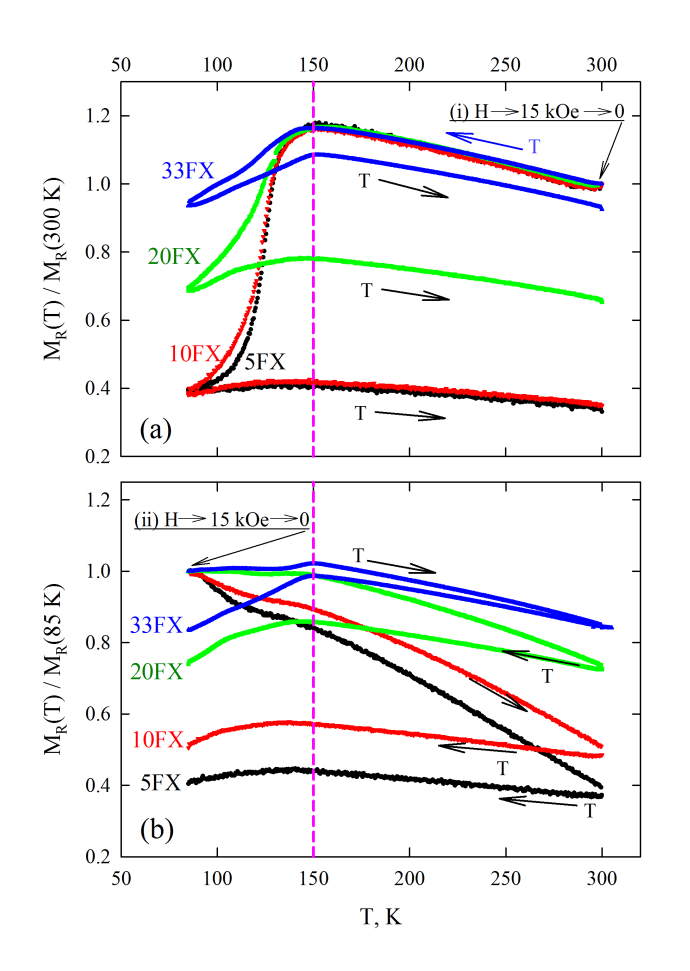
цов [28]. В цитируемой работе для количественного определения СПМ-вклада использовались значения $\chi'(T=200~{\rm K})$. Связь между C и $\chi'(T=200~{\rm K})$ определяется как $C=200\chi'(T=200~{\rm K})$. Можно констатировать хорошее совпадение значений параметров C, полученных из различных методик и в различных диапазонах температур. Указанные факты, в том числе выполнение критериев (1) и (2), с учетом возможной погрешности определения доли малых частиц из гистограмм свидетельствуют о корректности вычета СПМ-вклада.

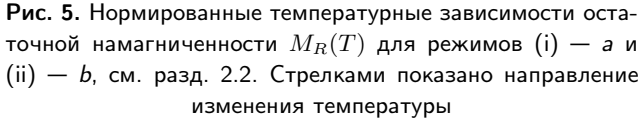
После вычета СПМ-вклада на зависимостях M(T) для образцов 20FX и 10FX (как и для образца 33FX) отчетливо проявляется максимум в окрестности 150 K; для образца 5FX этот максимум также присутствует, но выражен в меньшей степени. Более того, на зависимостях M(T) на рис. З b видны особенности (изломы), которые можно связать со сменой этапов магнитного перехода [8, 10–15]. В ряду образцов 33FX, 20FX, 10FX, 5FX возрастает значение температуры T_{IM} , при которой наблюдается излом зависимости M(T).

3.3. Поведение температурных зависимостей остаточной намагниченности в температурном интервале магнитного перехода

Ансамбль частиц, находящихся в СПМ-состоянии, в нулевом внешнем поле должен давать нулевой отклик. И если к системе, содержащей смесь СПМ-частиц и частиц с заблокированными магнитными моментами, приложить внешнее поле, а за-

 $^{^{2)}}$ Строго говоря, соотношение $\mu \sim V$ выполняется только для случая ферромагнитного упорядочения в частице и «идеального упорядочения» спинов на ее поверхности. А поскольку $C \sim \mu^2$, то $C \sim V^2$, следовательно, для второго критерия должно выполняться соотношение $C^{1/2} \sim f_V (< 7 \text{ нм})$. Но поскольку магнитная структура малых частиц далека от идеально упорядоченной и не является ферромагнитной, то мы ограничиваемся критерием простой пропорциональности между параметром C и $f_V (< 7 \text{ нм})$.





тем его снять, то остаточная намагниченность M_R будет определяться только заблокированными частицами. Для того чтобы выявить магнитный отклик от крупных частиц в температурной области магнитного перехода 80–150 K, были проведены измерения температурных зависимостей $M_R(T)$ в диапазоне температур 85–300 K после приложения/снятия поля 15 к Θ . Использовались два режима, обозначенные в разд. 2.2 как (i) и (ii). Зависимости $M_R(T)$ для режимов (i) и (ii) приведены на рис. 5 a и 5 b соответственно. Данные нормированы на значения $M_R(T)$ для режима (ii) и $M_R(T)$ для режима (ii).

На рис. 5 видно, что характерная температура $150~\mathrm{K}$, при которой заканчивается магнитный переход (при повышении температуры), проявляется практически на всех зависимостях $M_R(T)$, т. е. для всех образцов в обоих режимах (i) и (ii) как при отогревании, так и при охлаждении образца.

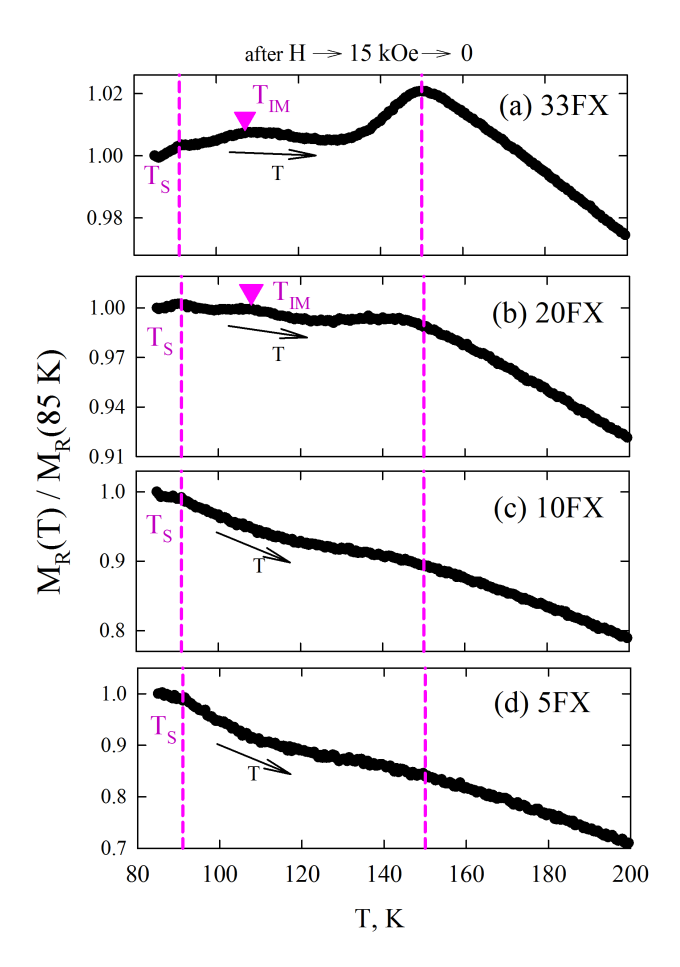


Рис. 6. Участки зависимостей $M_R(T)$ рис. 5 b при увеличении температуры в увеличенном масштабе. Значимые особенности зависимостей $M_R(T)$ отмечены вертикальными штриховыми линиями и треугольниками

Также можно заметить, что при изменении температуры от 150 до 85 К (либо от 85 до 150 К) нормированная остаточная намагниченность уменьшается сильнее для образцов с меньшими частицами, т. е. разница между $M_R(T=150 \text{ K})$ и $M_R(T=85 \text{ K})$ уменьшается в ряду 5FX, 10FX, 20FX, 33FX. Стоит подчеркнуть, что в образце 5FX магнитный переход в измерениях магнитной восприимчивости $\chi'(T)$ проявляется очень слабо, см. рис. 2. В то же время для этого образца на основании приведенных в разд. 3.1 аргументов для частиц размерами 7–10 нм (см. рис. 1 а) магнитный переход ярко проявляется в сильном изменении остаточной намагниченности в диапазоне температур ~110-150 К. Таким образом, измерения остаточной намагниченности (в нулевом внешнем поле) позволяют увидеть магнитный переход в частицах ε -Fe₂O₃ размером более 7 нм, который «шунтируется» СПМ-поведением малых частиц при измерении зависимостей M(T).

На зависимостях $M_R(T)$ для режима (ii) образцов 20FX и 33FX при понижении температуры в окрестности $T\simeq 105$ –110 K видны особенности в виде изломов (рис. 5 b). Этот температурный интервал соответствует положению аналогичных изломов зависимостей M(T) на рис. 3 b (при $T=T_{IM}$), хотя в случае измерений $M_R(T)$ изломы выражены слабее.

Однако характерные особенности зависимостей $M_R(T)$, соответствующие этапам магнитного перехода, более отчетливо проявляются при подробном рассмотрении поведения $M_R(T)$ после приложения/снятия поля при температуре 85 К с последующим нагреванием образца. Эти данные в увеличенном масштабе показаны на рис. 6. На этом рисунке видны изломы при температуре $T_S \approx 91$ К (отмечено вертикальной штриховой линией), одинаковой для всех образцов. Также для образцов 33FX и 20FX наблюдаются аркообразные особенности в окрестности температуры $\approx 108 \pm 1$ K, что совпадает со значениями температуры T_{IM} , при которых для этих образцов обнаруживаются характерные изломы на зависимостях M(T), см. рис. 3 b.

Для образцов 5FX и 10FX зависимости $M_R(T)$ убывают с ростом температуры и можно говорить только о проявлении окончания перехода, т. е. об изменении характера $M_R(T)$ в окрестности температуры 150 К. Это, возможно, связано с тем, что некоторая часть частиц в этих образцах переходят в СПМ-состояние при температурах, превышающих 85 К. В свою очередь, уменьшение остаточной намагниченности при температурах выше 150 К характерно для всех образцов. При температуре 150 К устанавливается коллинеарная ферримагнитная структура и уменьшение M_R в этом случае связано с типичным для заблокированных частиц влиянием тепловых флуктуаций.

3.4. Этапы магнитного перехода на диаграмме «размер частиц-температура»

На основании полученных выше данных по характерным температурам, при которых наблюдаются отчетливые особенности зависимостей M(T) и $M_R(T)$, можно построить диаграмму этапов магнитного перехода в координатах «размер частиц (ось абсцисс)—температура (ось ординат)», представленную на рис. 7. Как говорилось в разд. 3.1 (см. также [28]), размер частиц d_C , равный 6.5 ± 1 нм, можно считать критическим для существования магнитного перехода, происходящего в ε -Fe₂O₃ в диапазоне 80–150 К. Этот критический размер d_C представлен на рис. 7 как заштрихованный столбец.

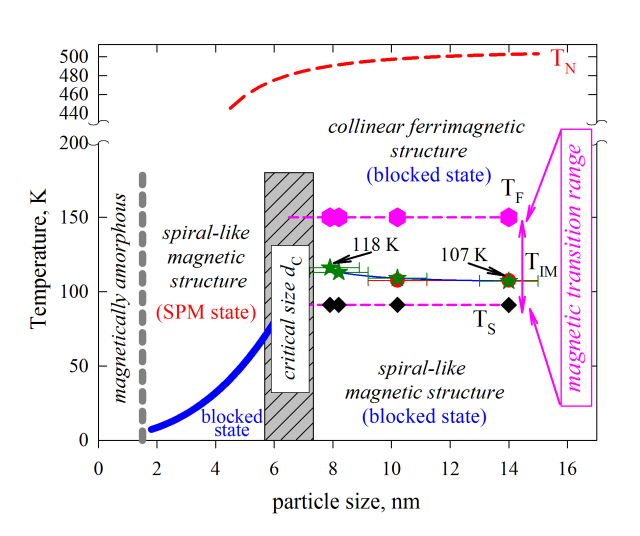


Рис. 7. Диаграмма этапов магнитного перехода и типа магнитной структуры в ε -Fe $_2$ O $_3$. По оси абсцисс отложен размер частиц, по оси ординат — температура. d_C — критический размер частиц, проявляющих магнитный переход (заштрихованный столбец). Горизонтальные штриховые линии — начало ($T_S \approx 91~{\rm K}$) и окончание перехода ($T_F \approx 150~{\rm K}$). Значения температур T_S получены из данных рис. 6, температура T_F проявляется в данных рис. 5 и рис. 6. Значения температур T_{IM} соответствуют характерным особенностям (изломам) зависимостей M(T) на рис. 3 b (звезды) и аркообразным особенностям зависимостей $M_R(T)$ на рис. 6 (кружки). Зависимость температуры Нееля от размера частиц $T_N(d)$ взята из результатов работы [37]

Сплошная линия, приведенная в области размеров частиц $d < d_C$ рис. 7, разграничивает области заблокированного состояния и СПМ-состояния магнитных моментов этих малых частиц. Она построена по формуле Нееля—Брауна $T_B = K_{eff}V/[k_B\ln(\tau_m/\tau_0)]$, где T_B — температура СПМ-блокировки, K_{eff} — эффективная константа магнитной анизотропии, V — объем частицы, τ_m и τ_0 — характерные времена измерения и релаксации магнитного момента частицы соответственно. Расчет проведен при $K_{eff}\approx 5.5\cdot 10^5$ эрг/см 3 [28], $\tau_m=1/f$ для частоты переменного поля f=100 Гц (рис. 1) и $\tau_0=0.4\cdot 10^{-12}$ с.

Отсутствие магнитного перехода в частицах малых размеров естественно связать с дефектностью структуры таких частиц и большой долей поверхностных атомов [24, 28]. Это подтверждается результатами анализа спектров ядерного рассеяния вперед образца 5FX [36]. В частицах малых размеров ($d < d_C$) при комнатной температуре ферримагнитная коллинеарная магнитная структура не реализуется, и при низких температурах все

изменения спектров определяются только процессами СПМ-блокировки [23,36]. В то же время для образца 20FX, в котором возросла доля крупных частиц, анализ спектров ядерного рассеяния вперед выявил ферримагнитную структуру в области температур 150–300 К и магнитную структуру типа спирали при температурах 80 К и 4 К [21]. Тип магнитной структуры для различных интервалов размеров частиц указан на диаграмме рис. 7.

Поскольку в частицах размером менее d_C магнитного перехода нет, то для построения диаграммы этапов магнитного перехода при $d > d_C$ разумно использовать средний размер частиц $\langle d^* \rangle$, полученный без учета частиц, меньших d_C . Для исследованных образцов 5FX, 10FX, 20FX, 33FX такой расчет (по данным ПЭМ ВР) дает значения $\langle d^* \rangle$, равные 7.9, 8.2, 10.2, 14 нм соответственно (см. также рис. 1).

Температура окончания (при возрастании температуры) магнитного перехода $T_F \approx 150 \pm 3$ К проявляется в данных рис. 3b, 5, 6, и она не изменяется от образца к образцу. Температура $T_S \approx 91 \pm 1$ К, видимая из данных рис. 6, также одинакова для всех образцов, и ее можно считать началом, по крайней мере, одного из этапов магнитного перехода. После прохождения магнитного перехода, т. е. начиная от температуры ~ 150 К, $\varepsilon\text{-Fe}_2\text{O}_3$ характеризуется большим значением константы магнитной анизотропии, достигающей $(3-5)\cdot 10^6$ эрг/см³ [5,22,28]. В результате магнитные моменты частиц размерами от d_C до ~ 9 нм переходят в СПМ-состояние в диапазоне температур $\sim 150-500$ К.

Характерные изломы зависимостей M(T)(рис. 3 в) и аркообразные особенности зависимостей $M_R(T)$ (рис. 6) при $T = T_{IM}$, по всей видимости, соответствуют смене этапов магнитного перехода. Аналогичные особенности (изломы) на зависимостях M(T) в окрестности температуры 110 ± 3 K наблюдались в работах [8, 10–15]. В цитированных работах исследовались системы наночастиц ε -Fe₂O₃ достаточно крупных размеров (10-20 нм). Можно констатировать близость указанной температуры и значений T_{IM} для образцов 33FX ($T_{IM} \approx 107 \pm 1$ K, $\langle d^* \rangle \approx 14$ нм) и 20FX $(T_{IM} \approx 109 \pm 1 \text{ K}, \langle d^* \rangle \approx 10.2 \text{ нм})$. Из данных, полученных в настоящей работе, следует, что при уменьшении размера частиц ε -Fe₂O₃ температура T_{IM} несколько возрастает: $T_{IM} \approx 113 \pm 1$ К и 118 ± 1 K для образцов $10{
m FX}$ ($\langle d^*
angle \approx 8.2$ нм) и $5 {
m FX} \ (\langle d^* \rangle \approx 7.9 \ {
m нm})$ соответственно. Указанная тенденция видна на рис. 7. Аналогичная тенденция увеличения температуры положения высокотемпературного максимума зависимости $\chi'(T)$ при уменьшении размера частиц ε -Fe $_2$ O $_3$ прослеживается в данных рис. 2. Анализ температурных и частотных зависимостей магнитной восприимчивости (действительной и мнимой ее частей) будет проведен в отдельной работе.

Также на рис. 7 на основании данных работы [37] проиллюстрировано уменьшение температуры Нееля T_N при уменьшении размера частиц ε -Fe₂O₃. Это связано с влиянием размерного эффекта на температуру магнитного упорядочения [38-42]. Проведенный в работе [37] анализ зависимости $T_N(d)$ в рамках скейлингового закона для критических явлений в системах конечного размера позволил получить величину размера магнитных корреляций $\xi \approx 1.8$ нм. Величину $\xi \approx 1.8$ нм можно считать минимальным размером частицы, при котором при низких температурах еще может реализоваться магнитное упорядочение³⁾. Указанный размер 1.8 нм учтен на диаграмме рис. 7 как «магнитноаморфная» область. Сказанное выше позволяет считать, что и наблюдаемое изменение температуры T_{IM} при уменьшении размера частиц также является проявлением размерного эффекта в ε -Fe₂O₃.

4. ЗАКЛЮЧИТЕЛЬНЫЕ ЗАМЕЧАНИЯ

В настоящей работе проведены исследования статических магнитных свойств серии из четырех репрезентативных образцов наночастиц є-Fe₂O₃ в матрице ксерогеля SiO₂ с различными распределениями по размерам и средними размерами. Продемонстрированы два способа разделения магнитного отклика от крупных (более 7 нм) и мелких (менее 7 нм) частиц, магнитные моменты которых находятся, соответственно, в заблокированном и разблокированном состояниях. Первый способ основан на вычете суперпарамагнитного вклада в намагниченность от мелких частиц. Во втором способе суперпарамагнитный вклад отсутствует, поскольку измеряется остаточная намагниченность M_R после приложения/снятия внешнего поля, и весь магнитный отклик определяется крупными заблокированными частицами.

На температурных зависимостях M(T) и $M_R(T)$ внутри диапазона 80–150 K обнаруживаются характерные особенности (в виде изломов, максимумов и т.п.), которые соответствуют смене этапов магнитного перехода.

 $^{^{3)}}$ В объеме 1.83^3 нм 3 может содержаться 12 элементарных ячеек $\varepsilon\text{-Fe}_2\mathrm{O}_3,$ т. е. частица такого размера еще может быть структурно упорядочена.

В предыдущих исследованиях было аргументированно показано, что для наночастиц ε -Fe₂O₃ существует критический размер d_C в промежутке 6–7 нм, и для частиц с размером меньше d_C магнитный переход в диапазоне 80–150 K не происходит. Результатом данной работы является установление влияния размера частиц из интервала 7–10 нм на температуру смены этапов магнитного перехода уже внутри диапазона 80–150 K. Сказанное выше можно считать проявлением размерного эффекта в системах наночастиц ε -Fe₂O₃.

Благодарности. Исследования выполнены с использованием оборудования ЦКП ФИЦ КНЦ СО РАН.

Финансирование. Работа выполнена при поддержке Российского научного фонда (грант № 24-12-20011, https://rscf.ru/project/24-12-20011/) Красноярского краевого фонда науки.

ЛИТЕРАТУРА

- L. Machala, J. Tuček, and R. Zboril, Chem. Mater. 23, 3255 (2011).
- T. Danno, H. Asaoka, M. Nakanishi, T. Fujii, Y. Ikeda, Y. Kusano, and J. Takada, J. Phys. Conf. Ser. 200, 082003 (2010).
- J. Tuček, L. Machala, S. Ono, A. Namai, M. Yoshikiyo, K. Imoto, H. Tokoro, S. Ohkoshi, and R. Zbořil, Sci. Rep. 5, 15091 (2015).
- J. Tuček, R. Zbořil, A. Namai, and S. Ohkoshi, Chem. Mater. 22, 6483 (2010).
- M. Gich, A. Roig, C. Frontera, E. Molins, J. Sort, M. Popovici, G. Chouteau, D. M. y Marero, and J. Nogués, J. Appl. Phys. 98, 44307 (2005).
- M. Kurmoo, J.-L. Rehspringer, A. Hutlova,
 C. D'Orlans, S. Vilminot, C. Estournes, and
 D. Niznansky, Chem. Mater. 17, 1106 (2005).
- S. Ohkoshi, S. Sakurai, J. Jin, and K. Hashimoto, J. Appl. Phys. 97, 10K312 (2005).
- M. Gich, C. Frontera, A. Roig, E. Taboada, E. Molins, H. R. Rechenberg, J. D. Ardisson, W. A. A. Macedo, C. Ritter, V. Hardy, J. Sort, V. Skumryev, and J. Nogués, Chem. Mater. 18, 3889 (2006).
- J. Jin, K. Hashimoto, and S. Ohkoshi, J. Mater. Chem. 15, 1067 (2005).
- S. Sakurai, S. Kuroki, H. Tokoro, K. Hashimoto, and S. Ohkoshi, Adv. Funct. Mater. 17, 2278 (2007).

- V. N. Nikolić, V. Spasojević, M. Panjan, L. Kopanja, A. Mraković, and M. Tadić, Ceram. Int. 43, 7497 (2017).
- V. N. Nikolić, M. Tadić, M. Panjan, L. Kopanja,
 N. Cvjetićanin, and V. Spasojević, Ceram. Int. 43, 3147 (2017).
- M. Tadić, V. Spasojević, V. Kusigerski, D. Marković, and M. Remškar, Scr. Mater. 58, 703 (2008).
- 14. M. Tadić, I. Milosević, S. Kralj, M. Mitrić, D. Makovec, M-L. Saboungid, and L. Motte, Nanoscale 9, 10579 (2017).
- M. Polášková, O. Malina, J. Tuček, and P. Jakubec, Nanoscale 14, 5501 (2022).
- 16. В. А. Горбачёв, Е. С. Козлякова, Л. А. Трусова, А. Е. Слепцова, М. А. Зыкина, П. Е. Казин, Успехи химии, 90 (10), 1287 (2021) [E. A. Gorbachev, E. S. Kozlyakova, L. A. Trusov, A. E. Sleptsova, M. A. Zykin, and P. E. Kazin, Russ. Chem. Rev. 90 (10), 1287 (2021)].
- E. Gorbachev, M. Soshnikov, M. Wu, L. Alyabyeva,
 D. Myakishev, E. Kozlyakova, V. Lebedev,
 E. Anokhin, B. Gorshunov, O. Brylev, P. Kazin, and
 L. Trusov, J. Mater. Chem. C 9, 6173 (2021).
- 18. A. Namai, M. Yoshikiyo, K. Yamada, S. Sakurai, T. Goto, T. Yoshida, T. Miyazaki, M. Nakajima, T. Suemoto, H. Tokoro, and S. Ohkoshi, Nat. Commun. 3, 1035 (2012).
- 19. M. Yoshikiyo, A. Namai, M. Nakajima, K. Yamaguchi, T. Suemoto, and S. Ohkoshi, J. Appl. Phys. 115, 172613 (2014).
- 20. S. Ohkoshi, S. Kuroki, S. Sakurai, K. Matsumoto, K. Sato, and S. Sasaki, Angew. Chem. Int. Ed. 46, 8392 (2007).
- 21. Yu. V. Knyazev, A. I. Chumakov, A. A. Dubrovskiy, S. V. Semenov, I. Sergueev, S. S. Yakushkin, V. L. Kirillov, O. N. Martyanov, and D. A. Balaev, Phys. Rev. B 101, 094408 (2020).
- 22. D. A. Balaev, I. S. Poperechny, A. A. Krasikov, K. A. Shaikhutdinov, A. A. Dubrovskiy, S. I. Popkov, A. D. Balaev, S. S. Yakushkin, G. A. Bukhtiyarova, O. N. Martyanov, and Yu. L. Raikher, J. Appl. Phys. 117, 063908 (2015).
- 23. Ю. В. Князев, Д. А. Балаев, В. Л. Кириллов, О. А. Баюков, О. Н. Мартьянов, Письма в ЖЭТФ 108, 558 (2018) [Yu. V. Knyazev, D. A. Balaev, V. L. Kirillov, O. A. Bayukov, and O. N. Mart'yanov, JETP Lett. 108, 527 (2018)].

- 24. Д. А. Балаев, А. А. Дубровский, Ю. В. Князев, С. В. Семенов, В. Л. Кириллов, О. Н. Мартьянов, ФТТ 65, 979 (2023) [D. A. Balaev, A. A. Dubrovskiy, Yu. V. Knyazev, S. V. Semenov, V. L. Kirillov, and O. N. Martyanov, Phys. Solid State, 65, 938 (2023)].
- 25. Y. Ch. Tseng, N. M. Souza-Neto, D. Haskel, M. Gich, C. Frontera, A. Roig, M. van Veenendaal, and J. Nogués, Phys. Rev. B 79, 094404 (2009).
- J. Kohout, P. Brázda, K. Závêta, D. Kubániová,
 T. Kmječ, L. Kubíčková, M. Klementová, E. Šantavá,
 and A. Lancok, J. Appl. Phys. 117, 17D505 (2015).
- 27. Ю. В. Князев, А. И. Чумаков, А. А. Дубровский, С. В. Семенов, С. С. Якушкин, В. Л. Кириллов, О. Н. Мартьянов, Д. А. Балаев, Письма в ЖЭТФ 110, 614 (2019) [Y. V. Knyazev, A. I. Chumakov, A. A. Dubrovskiy, S. V. Semenov, S. S. Yakushkin, V. L. Kirillov, O. N. Martyanov, and D. A. Balaev, JETP Lett. 110, 613 (2019)].
- 28. D. A. Balaev, Yu. V. Knyazev, S. V. Semenov, A. A. Dubrovskiy, A. I. Lasukov, S. A. Skorobogatov, E. D. Smorodina, V. L. Kirillov, and O. N. Martyanov, Ceram. Int. 51, 650 (2025).
- 29. R. D. Zysler, D. Fiorani, A. M. Testa, L. Suber, E. Agostinelli, and M. Godinho, Phys. Rev. B 68, 212408 (2003).
- R. N. Bhowmik and A. Saravanan, J. Appl. Phys. 107, 053916 (2010).
- D. Sarkar, M. Mandal, and K. Mandal, J. Appl. Phys. 112, 064318 (2012).
- **32**. H. M. Lu and X. K. Meng, J. Phys. Chem. C **114**, 21291 (2010).

- 33. X. B. Jiang, B. B. Xiao, H. Yu. Yang, X. Y. Gu, H. Ch. Sheng, and X. H. Zhang, Appl. Phys. Lett. 109, 203110 (2016).
- **34**. G. F. Goya, T. S. Berquo, F. C. Fonseca, and M. P. Morales, J. Appl. Phys. **94**, 3520 (2003).
- 35. V. L. Kirillov, S. S. Yakushkin, D. A. Balaev, A. A. Dubrovskiy, S. V. Semenov, Yu. V. Knyazev, O. A. Bayukov, D. A. Velikanov, D. A. Yatsenko, and O. N. Martyanov, Mater. Chem. Phys. 225, 292 (2019).
- 36. Ю. В. Князев, Д. А. Балаев, А. А. Дубровский, С. В. Семёнов, В. Л. Кириллов, О. Н. Мартьянов, Письма в ЖЭТФ 121, 839 (2025) [Yu. V. Knyazev, D. A. Balaev, A. A. Dubrovskiy, S. V. Semenov, V. L. Kirillov, and O. N. Martyanov, JETP Letters 121, 800 (2025)].
- D. A. Balaev, S. V. Semenov, A. A. Dubrovskiy, Yu. V. Knyazev, V. L. Kirillov, K. A. Shaykhutdinov, and O. N. Martyanov, J. Supercond. Nov. Magn. 38, 184 (2025).
- **38**. J. Wang, W. Wu, F. Zhao, and G. Zhao, J. Appl. Phys. **109**, 056101 (2011).
- 39. N. Rinaldi-Montes, P. Gorria, D. Martínez-Blanco, A.B. Fuertes, I. Puente-Orench, L. Olivi, and J. A. Blanco, AIP Adv. 6, 056104 (2016).
- M. Tadić, D. Nikolić, M. Panjan, and G. R. Blake,
 J. Alloys Compd. 647, 1061 (2015).
- 41. X. G. Zheng, C. N. Xu, K. Nishikubo, K. Nishiyama, W. Higemoto, W. J. Moon, E. Tanaka, and E. S. Otabe, Phys. Rev. B 72, 014464 (2005).
- L. He, C. Chen, N. Wang, W. Zhou, and L. Guo, J. Appl. Phys. 102, 103911 (2007).